

نسب‌شناسی ژنی برای قطعه‌توالی‌های افتراقی بیان‌شده *Trichoderma harzianum* در طول کلونیزه‌شدن اسپرموسفر و سطح ریشه گوجه‌فرنگی

مهدی مهرابی کوشکی^{۱*}، حمید روحانی^۲ و عصمت مهدیخانی مقدم^۳

۱. استادیار بیماری‌شناسی گیاهی، گروه گیاه‌پزشکی، دانشکده کشاورزی، دانشگاه شهید چمران اهواز، ایران
 ۲، ۳. استاد و دانشیار بیماری‌شناسی گیاهی، گروه گیاه‌پزشکی، دانشکده کشاورزی، دانشگاه فردوسی مشهد، ایران
 (تاریخ دریافت: ۹۲/۷/۱ - تاریخ تصویب: ۹۳/۶/۲۵)

چکیده

بعضی سویه‌های تریکودرما به عنوان عامل کنترل بیولوژیک علیه بیمارگرهای گیاهی استفاده شده‌اند. روش نمایش افتراقی تکثیر نسخه‌های معکوس mRNA (DDRT-PCR) استفاده شد تا ژن‌های متمایز بیان‌شده سویه *T. harzianum* T7 در طول مراحل کلونیزه‌شدن اسپرموسفر و سطح ریشه گوجه‌فرنگی ردیابی شود. تولیدات DDRT-PCR روی ژل آگارز تفکیک و ۴۲ باند افتراقی برش "،" خالص‌سازی، همسانه‌سازی و توالی‌یابی شد. قطعه‌توالی‌های بیان‌شده به‌دست آمده با استفاده از جست‌وجوی BLAST2GO به پایگاه اطلاعات NCBI معرفی و نسب‌شناسی ژنی آنها بررسی شد. اغلب قطعه‌توالی‌های بیان‌شده مرتبط با پروتئین‌های شناخته شده یا فرضی بود. این پروتئین‌ها مرتبط با گروه‌های کارکردی مختلف بودند و عمدتاً در سوخت‌وساز، انتقال سیگنال درون و بین سلولی، برهم‌کنش با میزبان، انتقال پروتئین، ترجمه پروتئین‌ها، کنترل رشد و بقای سلولی، عادت به تغییرات محیطی، انتقال مولکول‌های زیستی بین هسته و سیتوپلاسم، تنظیم کارکرد پروتئین‌ها، تقسیم سلولی، تسریع در واکنش‌های آنالوگ، تعمیر مولکول‌های آسیب‌دیده DNA و دیگر کارکردهای حیاتی در موجودات مختلف نقش داشتند. بعضی قطعه‌توالی‌های بیان‌شده ردیابی شده در این مطالعه مرتبط با ژن‌هایی بودند که آنزیم‌های درگیر در تأمین غذایی تریکودرما را در زیستگاه‌شان کد می‌کنند.

واژه‌های کلیدی: کارکرد ژن، BLAST2GO، DDRT-PCR، ESTs.

مقدمه

ریشه‌های در حال توسعه بذور جوانه‌زده تغییر می‌کند مرحله مهمی جهت درک قابلیت تسخیرکنندگی ریشه‌گاه در گونه‌های تریکودرماست. تحقیقات متعددی در خصوص آنالیز بیان ژن‌های تریکودرما در شرایط مختلف غذایی و برهم‌کنش با گیاهان انجام شده که منجر به تهیه توالی تعداد زیادی از قطعه‌توالی‌های بیان‌شده (ESTها) گونه‌های مختلف تریکودرما شده که منبع ارزش‌مندی برای مطالعات آینده و از طرفی منجر به کشف، شناسایی و تعیین وظایف تعدادی از ژن‌های تریکودرما نیز شده است (Bailey et al., 2006; Chacon et al., 2007; Samolski et al., 2009; Rubio et al., 2012). قطعه‌توالی‌های بیان‌شده مربوط به ژن‌های بیان‌شده در پاسخ به کلونیزه‌شدن درون‌رستی ریشه گیاهچه‌های کاکائو با چهار سویه *T. ovalisporum* DIS

بعضی سویه‌های تریکودرما به عنوان عوامل کنترل بیولوژیک بر علیه بیمارگرهای گیاهی خاکزاد استفاده شده است. سویه‌های تریکودرما به منظور نشان دادن توان بیوکنترلی و تحریک رشد گیاه در ابتدا باید ریشه‌گاه^۱ را کلونیزه و با سایر عوامل تسخیرکننده ریشه‌گاه رقابت کنند و حداقل بخشی از جمعیت میکروبی را به خود اختصاص دهند تا قادر باشند با تولید انواع متابولیت‌های فرار و غیرفرار ضد میکروبی، تحریک رشد و القای مقاومت گیاهی، توانایی بیوکنترلی خود را علیه بیمارگرها نشان دهند (Harman et al., 2004; Hermosa et al., 2012). شناسایی ژن‌هایی از تریکودرما که بیان آنها در طول مراحل اولیه برهم‌کنش با

سوخت‌وساز هیدرات‌های کربن و مراحل فیزیولوژیکی انتقال در هر سه‌سویه بیان بیشتری داشتند که وفق‌پذیری فعال تریکودرما را در ریزوم ریشه‌گاه ثابت می‌کند.

در ارزیابی کلی از بررسی مطالعات برهم‌کنشی تریکودرما با گیاهان مختلف مخصوصاً مطالعاتی که تغییرات نسخه‌برداری تریکودرما را در واکنش به کلونیزه‌شدن ریشه بررسی کرده است (Bailey et al., 2006; Chacon et al., 2007; Samolski et al., 2009; Rubio et al., 2012) مشخص شد که هیچ‌گونه مطالعه‌ای (بر اساس انتشارات موجود در دسترس) در خصوص پاسخ‌های نسخه‌برداری تریکودرما در مراحل اولیه کلونیزه‌شدن اسپرموسفر انجام نگرفته است. از طرفی، موفقیت تریکودرما در کلونیزه‌شدن ریشه و استقرار آن در ریشه‌گاه (به‌ویژه هنگامی که به روش بذرمال استفاده می‌شود) منوط به کلونیزه‌شدن اولیه آن در اسپرموسفر در هنگام جوانه‌زنی بذر در خاک و ادامه رشد آن در ریشه‌گاه است. لذا، در این مطالعه با بهره‌گیری از روش‌های بررسی بیان ژن در سطح نسخه‌برداری و با استفاده از روش DDRT-PCR، ۴۲ ژن از سویه انتخاب‌شده *T. harzianum* T7، با نقش کلونیزه‌کننده موفق ردیابی و نسب‌شناسی ژنی شد (Mehrabi-Koushki et al., 2012) که در مراحل اولیه کلونیزه‌شدن اسپرموسفر و ریشه‌گاه گوجه‌فرنگی بیان افتراقی داشتند.

مواد و روش‌ها

برهم‌کنش تریکودرما با بذور در حال جوانه‌زنی و ریشه گوجه‌فرنگی

الف) بذور گوجه‌فرنگی (واریتۀ میلی) با قراردادن در هیپوکلریت سدیم ۱٪ به مدت دو دقیقه ضدعفونی سطحی و پس از شستشو در شرایط کاملاً سترون در فلاسک‌های محتوی ۱/۱۰ حجم محیط غذایی هیدروپونیک (Yedidia et al., 1999) ریخته شد. فلاسک‌ها در دور ۵۰rpm به مدت ۷۲ ساعت در دمای ۲۵ درجه سانتی‌گراد درون انکوباتور شیکردار نگهداری شد تا جوانه‌زنی یکنواخت انجام گیرد. سوسپانسیون اسپور سویه *T. harzianum* T7 با غلظت 10^5 اسپور در هر میلی‌لیتر به فلاسک‌های سترون محتوی محیط

T. harzianum DIS *T. hamatum* DIS 219b, 70a و 219f *Trichoderma* sp DIS 172ai با استفاده از Differential Display Reverse Transcriptase-PCR (DDRT-PCR) شناسایی و سطح بیانشان با استفاده از macroarrays بررسی شد (Bailey et al., 2006). که در آن چهار قطعه‌توالی بیان‌شده القای بیان بالایی داشتند شامل glucosyl glucosyl hydrolase family 2 (F3) و serine protease (F11), hydrolase family 7 (F7) alcohol oxidase در مطالعه‌ای (Chacon et al., 2007)، چندین کتابخانه cDNA از ۱۰، ۱۹ و ۲۴ ساعت بعد از رشد *T. harzianum* CECT 2413 روی ریشه گیاه گوجه‌فرنگی در کشت‌های هیدروپونیک تهیه شد که در آن قطعه‌توالی‌های بیان‌شده مرتبط با ژن‌های درگیر در سوخت‌وساز چربی، نقل‌وانتقال وزیکل‌ها، سنتز غشا و دیواره سلولی و تولید انرژی مرتبط با ATPases در طول مراحل اولیه کلونیزه‌شدن القا شد. در مطالعه دیگر (Samolski et al., 2009)، تغییرات نسخه‌برداری ژنی در سویه بیوکنترلی *T. harzianum* CECT 2413 در برهم‌کنش‌های اولیه‌اش با ریشه گیاه گوجه‌فرنگی با استفاده از فناوری ریزآرایه بررسی شد و در آن ژن‌های با تنظیم بیان بالا شناسایی شدند، شامل کدکننده هومولوگ‌های پروتئینی درگیر در مسیرهای سوخت‌وسازی به‌خصوص آنزیم‌هایی برای سوخت‌وساز اسیدهای آمینه، چربی و کربوهیدرات و آنزیم‌هایی برای بیوسنتز ویتامین و کوفاکتور، فرایندهای مرتبط با انرژی و سمیت‌زدایی ترکیبات بیگانه، توسعه میسلیوم و شکل‌گیری ساختارهای آلودگی در توسعه هم‌زیستی در روی یا نزدیک سطح میزبان بودند.

اخیراً در آزمایشی (Rubio et al., 2012) پاسخ‌های مقایسه‌ای نسخه‌برداری سه‌سویه *T. harzianum* CECT 2413 (T34) و *T. hamatum* Gv29-8 (T87) و *T. virens* IMI 224801 (T7) بیست ساعت بعد از برهم‌کنش با ریشه گیاهچه‌های گوجه‌فرنگی با استفاده از فناوری HDO microarrays بررسی شد. در این آزمایش میزان بیان ژن‌های درگیر در سوخت‌وساز هیدرات‌های کربن و بیوسنتز دیواره سلولی در هر سه‌سویه افزایش نشان داد. همچنین بیان یک ژن درگیر در سوخت‌وساز چربی فقط در دوسویه T34 و T87 افزایش یافت. ژن‌های مرتبط با

جمع‌آوری قطعات میسلیومی، لوله‌ها در دور ۸۰۰۰ g به مدت ۱۰ دقیقه سانتریفیوژ شدند. محتوای رسوب‌کرده میسلیومی پس از آب‌گیری نسبی در مقادیر ۱۰۰mg در لوله‌های سانتریفیوژ ۲ ml تقسیم شد و بلافاصله در فرایند استخراج RNA قرار گرفت.

استخراج RNA و تهیه cDNA

استخراج RNA با استفاده از کیت تجاری RNeasy Plant Mini Kit (Qiagen) و بر اساس مراحل دستورالعمل آن در دمای آزمایشگاه انجام گرفت. در تمامی مراحل استخراج از اتانول، آب مقطر، دسته هاون کوچک تجاری و دست‌ساز مخصوص استخراج در لوله و لوله‌های سانتریفیوژ با درجه کار مولکولی و فاقد RNase استفاده شد. محلول RNA حاصل با استفاده از اسپکتروفتومتر (مدل Biochrom WPA 221 Biowave) و نانودرآپ (مدل Thermo scientific NanoDROp) غلظت‌سنجی شد. تهیه cDNA با استفاده از آنزیم نسخه‌برداری معکوس SuperScript II reverse transcriptase (Invitrogen, USA) و آغازگر dt-ACP1 با فناوری ACP حاوی ۲۲bp توالی ضمیمه، ۵bp توالی تنظیم‌کننده اتصال گوانین و ۱۸bp توالی تیمین (CTGTGAATGCTGCGACTACGATGGGGG_(T18)) بر اساس مراحل دستورالعمل کیت تجاری Gene-Fishing_DEG Kit (Seegene) انجام گرفت. cDNA حاصل به نسبت پنج برابر با آب مقطر عاری از DNase رقیق و در واکنش‌های DDRT-PCR استفاده شد.

واکنش‌های DDRT-PCR

واکنش‌های DDRT-PCR با آغازگر dT-ACP2 دارای فناوری ACP (CTGTGAATGCTGCGACTACGA) و بیست ترکیب آغازگر تصادفی TGGGGG_(T15) با استفاده از کیت Gene-Fishing_DEG ACP₄₁-ACP₆₀ Kit (Seegene) و بر اساس دستورالعمل سازنده انجام شد. توالی بیست آغازگر تصادفی ACP شامل ۲۲bp توالی مشابه ضمیمه، ۵bp توالی تنظیم‌کننده اتصال گوانین و ۱۰bp توالی تصادفی بود (جدول ۱). مخلوط واکنش DDRT-PCR برای هر ۵۰µl حاوی ۲/۵µl آغازگر ۱۰µM-dTACP2، ۵µl از آغازگر تصادفی 5µM-ACP، ۱۲/۵µl از cDNA رقیق‌شده نمونه القایی یا

کشت SM (Yedidia et al., 1999) مایه‌زنی و برای جوانه‌زنی مؤثر فلاسک‌ها در شرایط ۱۸۰ rpm و دمای ۲۸ درجه سانتی‌گراد به مدت ۲۴ ساعت قرار گرفت. مایه میسلیومی (اسپورهای جوانه‌زده) با جمع‌آوری محیط رشدی در لوله‌های سانتریفیوژ و چند بار سانتریفیوژ در دور ۸۰۰۰ g با آب مقطر سترون برداشت شد.

فلاسک‌های محتوی بذور گوجه‌فرنگی جوانه‌زده پس از شستشو در شرایط سترون با محیط جدید هیدروپونیک (حاوی ۵g/L گلوکز) تعویض شد. این فلاسک‌ها با مایه میسلیومی به نسبت ۱۰^۵ اسپور جوانه‌زده در هر میلی‌لیتر محیط مایه‌زنی شدند و در همان شرایط رشدی قرار گرفتند. فلاسک‌های محتوی محیط غذایی هیدروپونیک (حاوی ۵g/L گلوکز) بدون بذور جوانه‌زده با مایه میسلیومی مایه‌زنی و شرایط غیرالقایی در نظر گرفته شد. برداشت میسلیوم از بذور جوانه‌زده کلونیزه شده ۱۸ و ۷۲ ساعت بعد از ایجاد شرایط برهم‌کنش انجام شد.

ب) گیاهچه‌های گوجه‌فرنگی در دسته‌های ده‌تایی سازماندهی و ریشه‌های آنها در هیپوکلریت سدیم ۱٪ به مدت سه دقیقه ضدعفونی سطحی و شستشو شد. فلاسک‌های نیم‌لیتری سترون محتوی ۱۵۰ ml محیط غذایی هیدروپونیک (حاوی ۵g/L گلوکز) با مایه میسلیومی به نسبت ۱۰^۵ اسپور جوانه‌زده در هر میلی‌لیتر مایه‌زنی شد. دسته‌های گیاهچه گوجه‌فرنگی در شرایط کاملاً سترون در داخل فلاسک‌ها قرار گرفت و با استفاده از نورهای پنبه سترون ثابت شد. فلاسک‌های محتوی محیط غذایی هیدروپونیک (حاوی ۵g/L گلوکز) با اسپورهای جوانه‌زده به همان نسبت مایه‌زنی شد و شرایط غیر القایی در نظر گرفته شد. فلاسک‌ها در شرایط ۲۵ درجه سانتی‌گراد و ۵۰ rpm در انکوباتور شیکردار قرار داده شد. برداشت میسلیوم ۱۸ و ۳۶ ساعت بعد از ایجاد شرایط برهم‌کنش انجام گرفت.

بذور جوانه‌زده و ریشه‌های کلونیزه شده جداگانه در فلاسک‌های سترون محتوی ۲۰۰ میلی‌لیتر آب مقطر روی شیکر ارلن با دور ۵۰rpm تکان داده شد به نحوی که میسلیوم‌ها از سطح بذور و ریشه‌ها جدا شود. سپس، محتوای فلاسک‌ها با استفاده از توری‌های مناسب فیلتر و به لوله‌های سانتریفیوژ ۵۰ml منتقل شدند. برای

سانتی‌گراد به مدت ۱۸۰ ثانیه اتصال تصادفی آغازگرها و ۷۲ درجه سانتی‌گراد به مدت ۸۰ ثانیه بسط آغازگرها)، ۴۰ چرخه اصلی (۹۴ درجه سانتی‌گراد به مدت ۴۰ ثانیه و اسرشته‌سازی، ۶۵ درجه سانتی‌گراد به مدت ۴۰ ثانیه اتصال هدفدار آغازگرها و ۷۲ درجه سانتی‌گراد به مدت ۱۲۰-۸۰ ثانیه بسط آغازگرها) و بسط نهایی (۷۲ درجه سانتی‌گراد به مدت ۶۰۰ ثانیه) بود.

کنترل، ۲۵µl مخلوط تجاری واکنش PCR (2X SeeAmp™ ACPTM Master Mix) و ۵µl آب مقطر بود. لوله‌های واکنش پس از تنظیم و اجرای برنامه PCR در ترموسایکلر مدل Biometra T Personal تا زمان مشاهده دمای ذوب ۹۴ درجه سانتی‌گراد روی صفحه نمایش به دستگاه منتقل شد (hot-start). برنامه دمایی شامل یک چرخه آغازین (۹۴ درجه سانتی‌گراد به مدت ۳۰۰ ثانیه ذوب اولیه و اسرشته‌سازی الگو، ۵۰ درجه

جدول ۱. آغازگرهای مورد استفاده در بررسی بیان افتراقی ژن‌های تریکودرما مورد استفاده در واکنش DDRT-PCR

| نام آغازگر | توالی آغازگر | نام آغازگر | توالی آغازگر* |
|-------------------|---|-------------------|--|
| ACP ₄₁ | 5'-GTCTACCAGGCATTTCGCTTCATGGGGGCC GAAGACCT _{3'} | ACP ₅₁ | 5'-GTCTACCAGGCATTTCGCTTCATGGGGGXXX XXXXXXXX _{3'} |
| ACP ₄₂ | 5'-GTCTACCAGGCATTTCGCTTCATGGGGGX XXXXXXXX _{3'} | ACP ₅₂ | 5'-GTCTACCAGGCATTTCGCTTCATGGGGGTGC TCAGC00 _{3'} |
| ACP ₄₃ | 5'-GTCTACCAGGCATTTCGCTTCATGGGGGX XXXXXXXX _{3'} | ACP ₅₃ | 5'-GTCTACCAGGCATTTCGCTTCATGGGGGXXX XXXXXXXX _{3'} |
| ACP ₄₄ | 5'-GTCTACCAGGCATTTCGCTTCATGGGGGX XXXXXXXX _{3'} | ACP ₅₄ | 5'-GTCTACCAGGCATTTCGCTTCATGGGGGXXX XXXXXXXX _{3'} |
| ACP ₄₅ | 5'-GTCTACCAGGCATTTCGCTTCATGGGGGX XXXXXXXX _{3'} | ACP ₅₅ | 5'-GTCTACCAGGCATTTCGCTTCATGGGGGTCC TGCACCG _{3'} |
| ACP ₄₆ | 5'-GTCTACCAGGCATTTCGCTTCATGGGGGX XXXXXXXX _{3'} | ACP ₅₆ | 5'-GTCTACCAGGCATTTCGCTTCATGGGGGTGC CCAAGCG _{3'} |
| ACP ₄₇ | 5'-GTCTACCAGGCATTTCGCTTCATGGGGGX XXXXXXXX _{3'} | ACP ₅₇ | 5'-GTCTACCAGGCATTTCGCTTCATGGGGGAGC GGACCTC _{3'} |
| ACP ₄₈ | 5'-GTCTACCAGGCATTTCGCTTCATGGGGGA GCACTTCGG _{3'} | ACP ₅₈ | 5'-GTCTACCAGGCATTTCGCTTCATGGGGGXXX XXXXXXXX _{3'} |
| ACP ₄₉ | 5'-GTCTACCAGGCATTTCGCTTCATGGGGGGC CAACTGCC _{3'} | ACP ₅₉ | 5'-GTCTACCAGGCATTTCGCTTCATGGGGGGTG GCTGCAC _{3'} |
| ACP ₅₀ | 5'-GTCTACCAGGCATTTCGCTTCATGGGGGA GAAGCTGCG _{3'} | ACP ₆₀ | 5'-GTCTACCAGGCATTTCGCTTCATGGGGGGT CGAAGAG _{3'} |

* توالی تصادفی آغازگرهایی که در این مطالعه باند افتراقی با زیستی‌پذیر تولید نکردند، با حرف X نشان داده شده است.

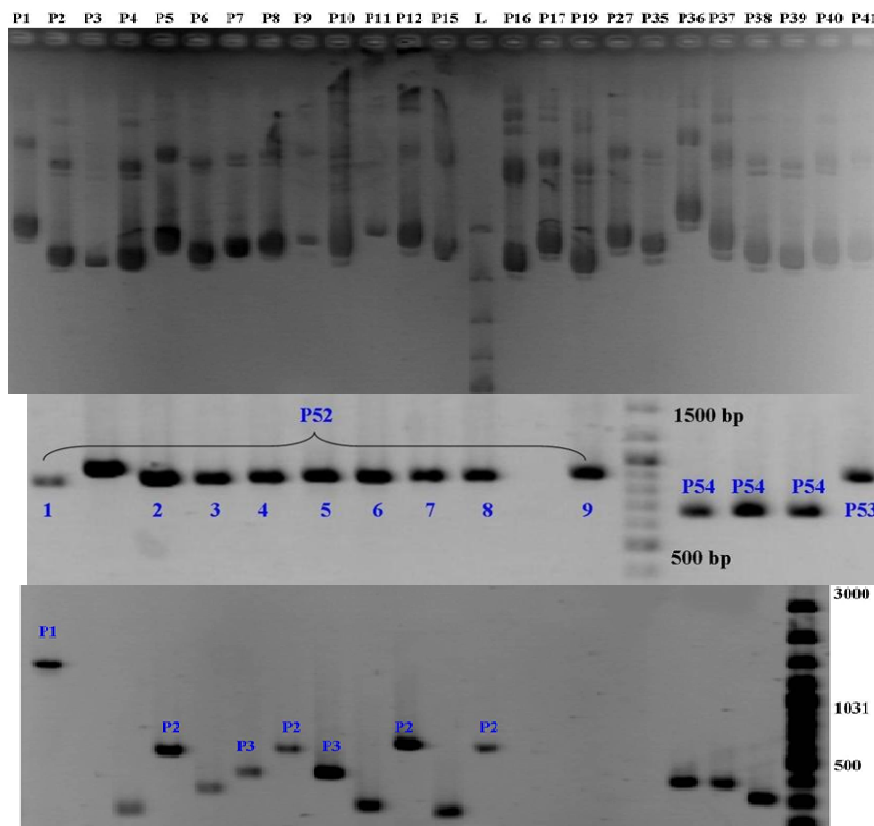
۴ درجه سانتی‌گراد به مدت پنج دقیقه سانتریفوژ شد. رسوب حاصل با افزودن ۵۳۰µl محلول ۱۰۰ میلی‌مولار کلرید کلسیم سوسپانیزه و به مدت ده دقیقه روی یخ نگهداری شد. سپس، در دمای ۴ درجه سانتی‌گراد به مدت پنج دقیقه سانتریفوژ شد و رسوب باکتریایی با ۱۶۰µl محلول ۱۰۰ میلی‌مولار کلرید کلسیم به‌عنوان سلول‌های مستعد و پذیرنده سوسپانیزه شد. سپس به ۵۰µl سلول مستعد، ۲/۵µl مخلوط تلفیق فوق (تهیه شده با کیت InsTAclone™ PCR Cloning) اضافه و کاملاً مخلوط شد. مخلوط همسانه‌سازی به مدت ۳۰ دقیقه روی یخ نگهداری شد و در آب گرم ۴۲ درجه سانتی‌گراد به مدت ۴۰ ثانیه، سپس انتقال سریع آن به یخ، شوک حرارتی داده شد. قبل از کشت مخلوط همسانه‌سازی روی محیط گزینشگر و گزارشگر (LBA+X-Gal+IPTG)، به لوله سانتریفوژ محتوی

استخراج و خالص‌سازی DNA از باندهای افتراقی و همسانه‌سازی آنها

بعد از بارگذاری محصولات DDRT-PCR روی ژل، باندهای افتراقی برش و قطعات تکثیری DNA با استفاده از کیت تجاری QIAquick Gel Extraction Kit (Qiagen) و بر اساس دستورالعمل سازنده خالص‌سازی شد. قطعات DNA با استفاده از آنزیم T4 DNA Ligase در ناقل pTZ57R/T تلفیق و در سلول‌های پذیرنده سویه E. coli DH5α تهیه شده با استفاده از کیت تجاری InsTAclone™ PCR Cloning Kit (Fermentas) و گاهی روش استفاده از محلول کلرید کلسیم همسانه‌سازی شد (شکل ۱). در روش کلرید کلسیم، کشت باکتری تکثیر یافته در محیط LB (در حدود ۱/۶ میلی‌لیتر) به لوله‌های سانتریفوژ ۲ml منتقل و پس از توقف ۱۰ دقیقه‌ای روی یخ در ۳۰۰۰g و دمای

دستورالعمل سازنده انجام گرفت (شکل ۱). در عملیات توالی‌یابی، خوانش با استفاده از آغازگر پیش‌رو M13 برای قطعات کوتاه و آغازگرهای پیش‌رو و معکوس M13 برای قطعات بلند توسط شرکت ماکروژن انجام گرفت.

مخلوط همسانه‌سازی ۲۰۰ μl محیط غذایی LB اضافه شد و به مدت ۴۰ دقیقه در دمای ۳۷ درجه سانتی‌گراد و دور ۱۲۰ rpm قرار گرفت. با تأیید و تکثیر پرگنه‌های انتخابی در محیط LB، استخراج پلاسمید جهت استفاده در عملیات توالی‌یابی با استفاده از کیت GeneJET™ Plasmid Miniprep Kit (Fermentas) و بر اساس



شکل ۱. الف) الکتروفورز ۳ μl پلاسمید استخراج شده از همسانه‌های انتخابی (P1-P41) روی ژل آگارز ۱٪ و مشاهده آن بعد از رنگ‌آمیزی با محلول اتیدیوم بروماید (۱ μg/ml). ب) الکتروفورز ۵ μl محصول واکنش‌های PCR همسانه‌ها (با استفاده از آغازگرهای M13) روی ژل آگارز ۱٪ و مشاهده آن بعد از رنگ‌آمیزی با محلول اتیدیوم بروماید (۱ μg/ml) جهت تأیید همسانه‌های P1، P2، P3، P52، P53 و P54. اندازه باندهای تأیید همسانه‌ها از جمع اندازه هر باند افتراقی و ۱۵۷ bp از توالی ناقل pTZ57R/T حاصل شده است.

حذف شد. قطعه‌توالی‌های بیان شده (Expressed Sequence Tags=ESTs) به جست‌وجوگر BLASTx، AmiGO و BLAST2GO معرفی شد تا با عملیات بلاست (BLASTx)، نقشه‌نگاری یا نگاشت^۱ و تفسیر^۲، نسب‌شناسی ژنی^۳ قطعه‌توالی‌های بیان‌شده به دست آید. محصول جست‌وجوی بلاست و نسب‌شناسی ژنی در

ویراستاری و آنالیز توالی‌ها

کیفیت توالی‌ها با استفاده از نرم‌افزار BioEdit ارزیابی شد. سپس، این توالی‌ها با توالی ناقل مورد استفاده جهت همسانه‌سازی (pTZ57R/T) هم‌راستا شد تا امکان حذف توالی ناقل و توالی ضمیمه‌شده به آغازگرهای مورد استفاده در PCR-DDRT فراهم شود. از نرم‌افزار DNA Baser V3.5.0 برای مونتاژ خوانش‌های پیش‌رو و معکوس استفاده شد. توالی‌های کوچک‌تر از ۱۰۰ bp بدون در نظر گرفتن توالی‌های پلی‌A/T از ادامه ارزیابی

1. Mapping
2. Annotation
3. Gene ontology

بسیار پایینی از همسانه‌سازی مشاهده شد و بسیاری از باندهای افتراقی بازیابی نشد. در بعضی موارد جهت افزایش بازیابی DNA بعد از استخراج باندهای افتراقی از ژل و در مرحلهٔ خالص‌سازی، نمونه‌ها با هم ادغام و در مرحلهٔ ارزیابی همسانه‌سازی بر اساس اندازهٔ باندهای حاصل از هم تفکیک شد. توالی‌های به دست‌آمده ارزیابی و ویراستاری شد و ۴۲ توالی آن که قطعه‌توالی بیان‌شده (EST) در نظر گرفته و در پایگاه اطلاعات ژنوم NCBI در بخش dbEST تحت شمارهٔ نمونه‌های JK813940 تا JK813925 و JK757086 تا JK757061 نمایه و ذخیره شد (جدول ۲).

صورتی که دارای E-value و P-value کمتر از ۰/۰۵ به ترتیب برای BLASTx و نسب‌شناسی ژنی بودند، یافته‌های معنادار در نظر گرفته شدند. قطعه‌توالی‌های بیان‌شده در بانک اطلاعات NCBI GenBank در قسمت dbEST نمایه شد.

نتایج و بحث

همسانه‌سازی باندهای افتراقی، توالی‌یابی، ویراستاری و ارزیابی قطعه‌توالی‌های بیان‌شده در طول همسانه‌سازی، به علت ضعیف بودن باندهای تولیدی ناشی از ماهیت واکنش‌های DDRT-PCR و غلظت پایین قطعات DNA خالص‌سازی شده راندامان

جدول ۲. مشخصات ۴۲ قطعه‌توالی بیان‌شده (ESTs) در این مطالعه نمایه‌شده در NCBI

| نام (User_Id) EST | نام در dbEST (dbEST_Id) | شماره نمونه (GenBank_Accn) | نام (User_Id) EST | نام در dbEST (dbEST_Id) | شماره نمونه (GenBank_Accn) |
|-------------------|-------------------------|----------------------------|-------------------|-------------------------|----------------------------|
| JK813940 | 79227060 | P45F-EST | JK757061 | 79227039 | P10F-EST |
| JK813939 | 79227061 | P45R-EST | JK757062 | 79227040 | P36F-EST |
| JK813938 | 79227062 | P5F-EST | JK757063 | 79227041 | P36R-EST |
| JK813937 | 79227063 | P8F-EST | JK757064 | 79227042 | P48F-EST |
| JK813936 | 79227064 | P4F-EST | JK757065 | 79227043 | P48R-EST |
| JK813935 | 76307382 | P54F-EST | JK757066 | 79227044 | P7F-EST |
| JK813934 | 76307383 | P52F-EST | JK757067 | 79227045 | P11F-EST |
| JK813933 | 76307384 | P53F-EST | JK757068 | 79227046 | P12F-EST |
| JK813932 | 76307385 | P6F-EST | JK757069 | 79227047 | P1F-EST |
| JK813931 | 76307386 | P32F-EST | JK757070 | 79227048 | P1R-EST |
| JK813930 | 76307387 | P35F-EST | JK757071 | 79227049 | P2F-EST |
| JK813929 | 76307388 | P37F-EST | JK757072 | 79227050 | P3F-EST |
| JK813928 | 76307389 | P40F-EST | JK757073 | 79227051 | P15F-EST |
| JK813927 | 76307390 | P42F-EST | JK757074 | 79227052 | P17F-EST |
| JK813926 | 76307391 | P46F-EST | JK757075 | 79227053 | P26F-EST |
| JK813925 | 76307392 | P47F-EST | JK757076 | 79227054 | P26R-EST |
| JK813924 | 76307393 | P49F-EST | JK757077 | 79227055 | P27F-EST |
| JK813923 | 76307394 | P50F-EST | JK757078 | 79227056 | P38F-EST |
| JK813922 | 76307395 | P39F-EST | JK757079 | 79227057 | P41F-EST |
| JK813921 | 76307396 | P51F-EST | JK757080 | 79227058 | P43F-EST |
| JK813920 | 76307397 | P44F-EST | JK757081 | 79227059 | P43R-EST |

نسب‌شناسی ژنی با استفاده از جست‌وجوی BLAST2GO، نتایج حاصل در سه مرحلهٔ بلاست جهت کشف توالی‌های مشابه، نگاشت جهت جمع‌آوری اطلاعات نسب‌شناسی ژنی همراه هیت‌های بلاست و تفسیر جهت تأیید اطلاعات قابل اعتماد به دست‌آمده برای توالی‌های معرفی‌شده انجام گرفت. در مرحلهٔ بلاست، توالی‌های مشابه در پایگاه‌های عمومی اطلاعات ژنوم، آستانهٔ شاخص E، تعداد هیت‌های بازیابی شده و حداقل طول هم‌راستایی^۱ برای هر قطعه‌توالی بیان‌شده معرفی‌شده به دست آمد. همچنین، میزان شباهت ۴۲ قطعه‌توالی با هیت‌های جست‌وجوشده از گونه‌های مختلف و اعتبار آنها با توجه به دامنهٔ آستانهٔ شاخص E

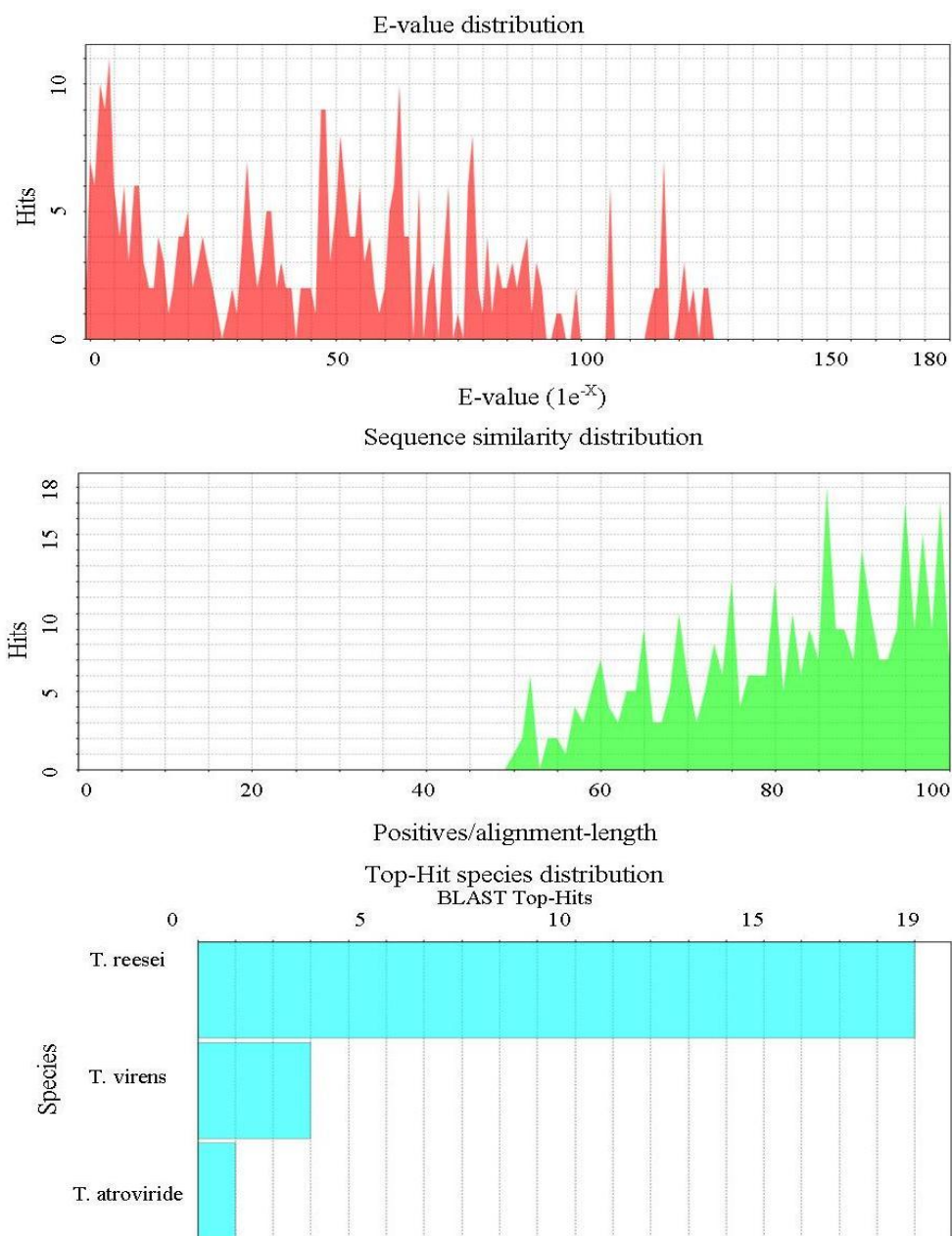
کشف نسب‌شناسی ژنی برای ۴۲ قطعه‌توالی بیان‌شده قطعه‌توالی‌های بیان‌شده (ESTs) به پایگاه اطلاعات ژنوم NCBI معرفی و به منظور تعیین تشابه آن با توالی‌های پروتئینی و نوکلئوتیدی نمایه‌شده قبلی در قسمت BLASTx، همچنین نسب‌شناسی ژنی در قسمت AmiGO و BLAST2GO جست‌وجو شد (جدول ۳). به منظور کشف کارکرد احتمالی قطعه‌توالی‌های به دست‌آمده و با هدف نسب‌شناسی ژنی سعی شد تا با استفاده از انبوه اطلاعات ژنی موجود در پایگاه‌های اطلاعات ژنوم به وظیفهٔ مولکولی^۱، مرحلهٔ بیولوژیکی^۲ و جزء سلولی^۳ هر قطعه‌توالی پی برد. در این راستا، در

4. Hits
5. Alignment

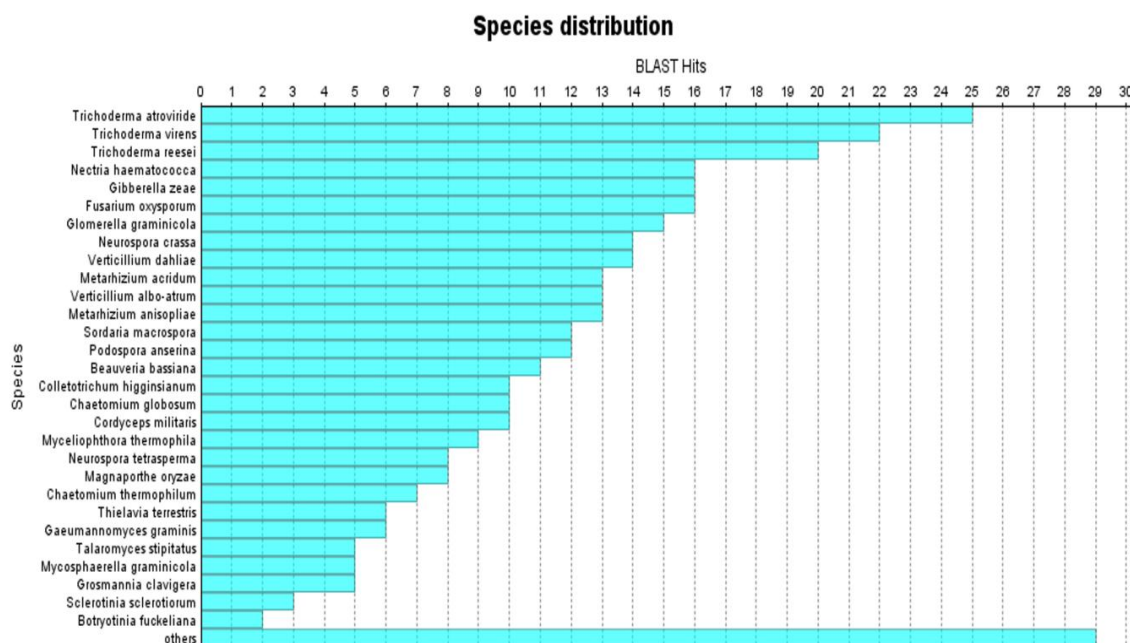
1. Molecular Function
2. Biological Process
3. Cellular Component

اطلاعات پروتئین (Non-redundant Reference) PIR، UniProtKB، PSD، Swiss- (Protein database) مانند، RefSeq، TrEMBL، Prot، GenPept، و PDB جست‌وجوی و کشف اطلاعات شد (شکل ۴ و ۵).

ارائه شد (شکل‌های ۲ و ۳). در مرحله نگاشت، اطلاعات نسب‌شناسی ژنی همراه با هیت‌های به‌دست‌آمده از جست‌وجوی بلاست هر کدام از ۴۲ قطعه‌توالی‌های بیان‌شده و معرفی‌شده به پایگاه اطلاعات ژنوم در محیط نرم‌افزاری BLAST2GO بازایی و در پایگاه‌های



شکل ۲. نمایش نموداری نتایج مرحله BLASTx بعد از معرفی ۴۲ قطعه‌توالی بیان‌شده به محیط BLAST2GO. نمودار توزیع شاخص E (E value distribution) نشان می‌دهد که این شاخص برای نتایج جست‌وجوی بلاست در دامنه 10^{-15} تا 10^{-5} قرار می‌گیرد. نمودار توزیع شباهت (sequence similarity distribution) نشان می‌دهد که تمام قطعه‌توالی‌ها با هیت‌های جست‌وجو شده ۵۰-۱۰۰ درصد شباهت دارند. نمودار توزیع بیشترین شباهت گونه‌ای (Top-Hit species distribution) نشان می‌دهد که ۴۲ قطعه‌توالی بیان‌شده با توالی‌های پروتئینی و نوکلئوتیدی شناخته‌شده سه گونه *T. reesei*، *T. virens* و *T. atroviride* بیشترین شباهت را دارند.



شکل ۳. نمایش نموداری نتایج مرحله BLASTx بعد از معرفی ۴۲ قطعه توالی بیان شده به محیط BLAST2GO. نمودار توزیع شباهتی گونه‌ها (species distribution) نشان می‌دهد که ۴۲ قطعه توالی بیان شده بیشترین شباهت را به گونه‌های نزدیک دارد.

در این فرایند، نرم‌افزار اطلاعات همراه هیت‌های بلاست را از سه طریق جمع‌آوری کرد:

۱. شماره دسترسی‌های مرحله بلاست مستقیماً در جدول DBXRef پایگاه اطلاعات نسب‌شناسی ژنی جست‌وجو شد.
۲. نام‌هایی که از دو فایل نگاشت geneinfo و gene2accession به دست آمد در جدول تولیدات ژنی پایگاه اطلاعات نسب‌شناسی ژنی جست‌وجو شد.
۳. شناساننده‌های UniProt برای استفاده از فایل نگاشت پایگاه‌های اطلاعات پروتئینی PIR اخذ شد.

بدین ترتیب، نرم‌افزار ابتدا شناساننده‌های هیت‌های بلاست را ردیابی کرد و آنها را به منظور کشف اطلاعات کارکردی مرتبط با قطعه توالی‌ها از پایگاه‌های اطلاعات پروتئینی فوق مورد استفاده قرار داد. همچنین، کد مدرک برای هر تفسیر مشخص ارائه شد (شکل ۴). دقت در کدهای مدرک ثابت کرد که تمام کارکرد ارائه شده برای قطعه توالی‌های بیان شده این آزمایش در پایگاه اطلاعات نسب‌شناسی ژنی از تفسیرهای الکترونیکی IEA به دست آمده و هیچ کدام از JSS، RCA، JPI، JDA، JIC، IMP، IGI حاصل نشده است (شکل ۴).

در مرحله تفسیر، نرم‌افزار با ارزیابی انبوه اطلاعات جمع‌آوری شده در مرحله نگاشت و اعتبارسنجی آنها صحیح‌ترین و قابل‌اعتمادترین تفسیر نسب‌شناسی را برای قطعه توالی‌های بیان شده جدید ارائه کرد. این نتایج نشان داد که تمام اطلاعات نسب‌شناسی ۴۲ قطعه توالی بیان شده این مطالعه از پایگاه اطلاعات ژنومی UniProtKB به دست آمده است. با استفاده از نتایج حاصل از دو مرحله قبل و اعتبارسنجی آنها با شاخص‌های مختلف همچون توزیع سطوح نسب‌شناسی ژنی، توزیع نمره نسب‌شناسی، تعداد نتایج نسب‌شناسی برای توالی‌های تفسیر شده (شکل ۴ و ۵)، یک برداشت کلی از تفسیرهای داده شده نسب‌شناسی برای هر توالی به دست آمد و به یک گروه کارکردی مرتبط دانسته شد (جدول ۳).

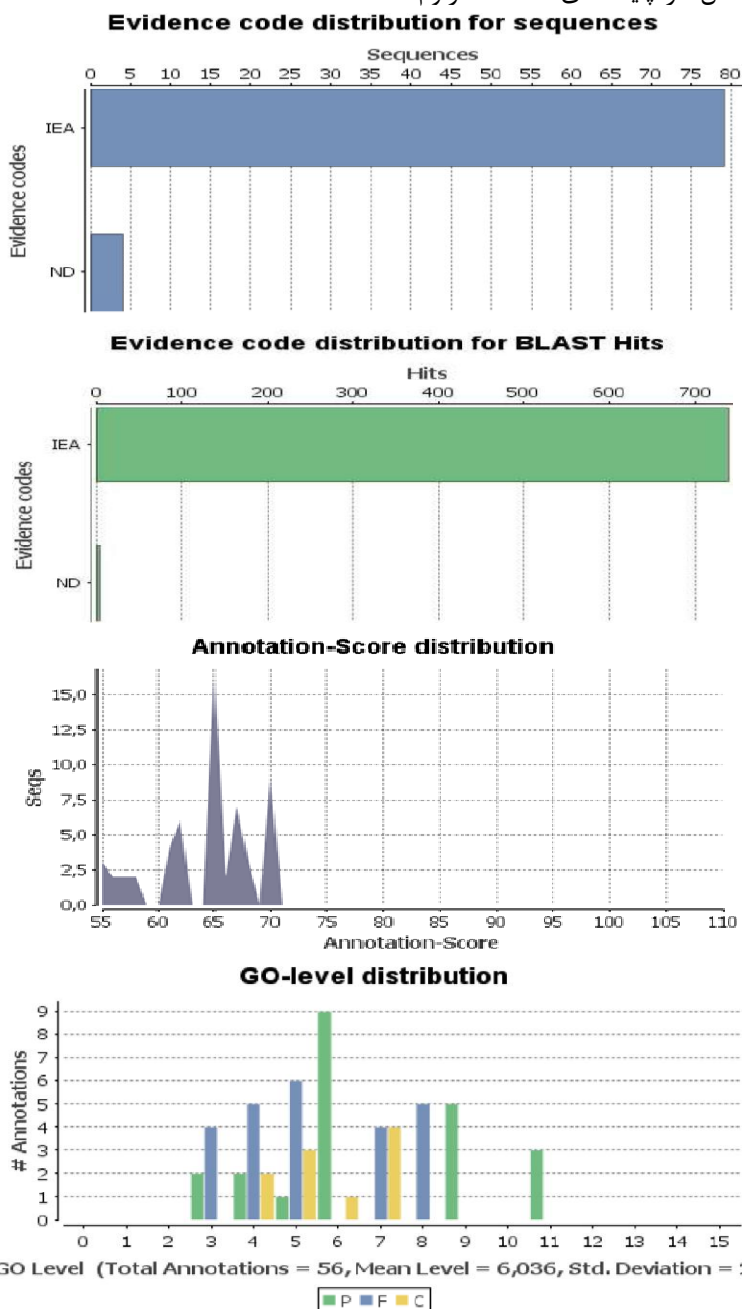
کارکرد احتمالی ژن‌های ردیابی شده بر اساس جست‌وجوی نسب‌شناسی ژنی و BLASTx

با انجام برهم‌کنش‌های مختلف در طول کلونیزه شدن بذور در حال جوانه‌زنی و ریشه گوجه‌فرنگی با سویه *T. harzianum* T7 و انجام و توسعه واکنش‌های DDRT-PCR تعدادی ژن نقش‌آفرین در کلونیزه شدن اسپرموسفر و ریشه‌گاه ردیابی شد. اغلب ۴۲ قطعه توالی بیان شده با پروتئین‌های تنظیمی یا کارکردی شناخته شده در سایر موجودات خاصه قارچ‌ها مرتبط شناخته

شکل ۳. نمایش نموداری نتایج مرحله BLASTx بعد از معرفی ۴۲ قطعه توالی بیان شده به محیط BLAST2GO. نمودار توزیع شباهتی گونه‌ها (species distribution) نشان می‌دهد که ۴۲ قطعه توالی بیان شده بیشترین شباهت را به گونه‌های نزدیک دارد.

نمایه شده است تشابه معناداری نشان ندادند (شاخص E و P بزرگ‌تر از ۰/۰۵) و قطعه‌توالی‌های بیان‌شده‌ای در نظر گرفته شدند که نماینده ژن‌های جدید و بدیع تریکودرمایند.

شدند (جدول ۳). نه قطعه‌توالی بیان‌شده با پروتئین‌های فرضی یا پیش‌بینی شده در سایر موجودات به‌ویژه قارچ‌ها مرتبط شناخته شدند. همچنین، دوازده عدد از این قطعه‌توالی‌های بیان‌شده با توالی‌های پروتئینی و نوکلئوتیدی که تا به حال در پایگاه‌های اطلاعات ژنوم



شکل ۴. نمایش نموداری نتایج مرحله نگاشت و تفسیر بعد از معرفی ۴۲ قطعه‌توالی بیان‌شده به محیط BLAST2GO. نمودارهای توزیع کدهای مدرک برای توالی‌های معرفی‌شده و هیئت‌های بلاست نشان می‌دهد که برای بیشتر ۴۲ قطعه‌توالی‌های بیان‌شده اطلاعات نسب‌شناسی ژنی کد مدرک در دسترس وجود دارد و عمده این اطلاعات از نوع تفسیرهای الکترونیکی است. No، ND، Inferred from Electronic Annotation، IEA و biological Data available. نمودار سطح نسب‌شناسی ژنی نشان می‌دهد که تفسیرهای نسب‌شناسی در سه سطح وظیفه مولکولی (F)، مرحله زیستی (P) و جزء سلولی (C) ارائه شده است.

T. harzianum CECT 2413 سوپه با سوپه گوجه‌فرنگی با سوپه مایه‌زنی شد، سطح بیان آن در مراحل اولیه کلونیزه شدن ریشه بیش از دو برابر افزایش یافت. در برهم‌کنش میکوریزایی قارچ *Glomus mosseae* با ریشه گیاه جعفری (Requena *et al.*, 2002) بعضی هم‌سانه‌های مرتبط با GTPase سطح بالایی از تنظیم و بیان ژن را در میسلیم‌های درگیر در مراحل قبل از تماس با گیاه نشان داد و این ثابت می‌کند که این پروتئین در سیگنال‌دهی جهت کنترل توقف رشد و مرگ سلولی برنامه‌ریزی شده در موضع برهم‌کنش در غیاب یک سیگنال از گیاه میزبان دخالت دارد. بررسی نقش ژن CDC42 (یک small GTPase) در شکل‌گیری و توسعه رابطه اکتومایکوریزایی قارچ *Tuber borchii* با گیاه (Menotta *et al.*, 2007) نشان داد که بیان این ژن در حضور میزبان و مواد مترشح ریشه اضافه‌شده به محیط کشت به ترتیب دو و پنج برابر افزایش یافت. این بررسی‌ها نقش احتمالی این خانواده ژنی در ایجاد جهت‌دهی اجزای داخل سلولی، حفظ رشد ریشه‌ای و شکل‌گیری برهم‌کنش قارچ-ریشه را در قارچ‌های کلونیزه‌کننده گیاهی نشان می‌دهد.

پروتئین‌های fatty acid desaturase، lipid phosphate phosphatase و phospholipase A2 هجده ساعت بعد از مایه‌زنی تریکودرما به ریشه و بذور در حال جوانه‌زنی گوجه‌فرنگی ردیابی شد. در مطالعات قبلی (Chacon *et al.*, 2007; Rubio *et al.*, 2012) نیز چندین قطعه‌توالی بیان شده و مرتبط با سوخت‌وساز لیپیدها از جمله fatty acid hydroxylase، sterol desaturase، acetyl-CoA acetyl transferase، lipoic acid synthetase و 3-ketoacyl-acyl carrier protein reductase در مراحل اولیه برهم‌کنش تریکودرما با ریشه گیاهچه‌های گوجه‌فرنگی القا شد. برخی از این پروتئین‌ها علاوه بر اینکه از اجزای ساختاری فسفولیپیدهای غشای سلولی‌اند در انتقال سیگنال سلولی، تنظیم ارتباطات سلول به سلول، سوخت‌وساز داخل سلولی چربی، مهاجرت از طریق عمل کردن در

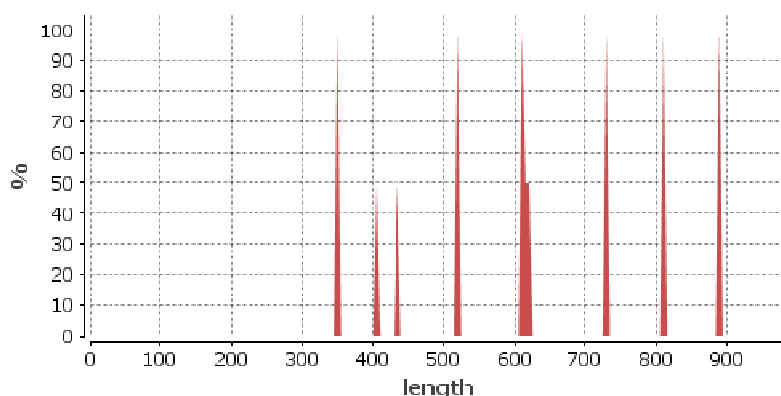
این قطعه‌توالی‌های بیان‌شده شامل شماره‌های نمونه JK813926، JK813927، JK813929 تا JK813933، JK813935 تا JK813937، JK813939 و JK813940 عمدتاً (به غیر از JK813939) در طول کلونیزه شدن بذور در حال جوانه‌زنی ردیابی شدند. این عدم تشابه، با توجه به بدیع بودن این نوع برهم‌کنش و نبود مطالعه قبلی دور از انتظار نبود. در این مطالعه، با استفاده از روش DDRT-PCR، تعدادی از ژن‌های بیان شده به‌طور متمایز در طول برهم‌کنش‌های اولیه قارچ تریکودرما با بذور در حال جوانه‌زنی و ریشه‌های گوجه‌فرنگی شناسایی شد. بیشتر این ژن‌ها با گروه‌های کارکردی مختلف در موجودات مختلف از جمله قارچ‌ها مرتبط شناخته شدند که عمدتاً در سوخت‌وساز، انتقال سیگنال درون و بین‌سلولی، برهم‌کنش با میزبان، انتقال پروتئین، ترجمه پروتئین‌ها، ورود مواد به داخل غشا، پویایی اکتین از طریق غیرفعال کردن پروتئین‌های ADF/cofilin، کنترل رشد و بقای سلولی، حرکت پروتئین‌ها داخل فضای درون غشایی میتوکندری، بیماری‌زایی میکروبی و شدت بیماری‌زایی، عادت به تغییرات محیطی همچون درجه حرارت، فشار، اسیدیته، قدرت یونی و وضعیت غذایی، تسهیل نقل‌وانتقال بین سیتوپلاسم و هسته، انتقال مولکول‌های زیستی بین هسته و سیتوپلاسم، تنظیم کارکرد پروتئین‌ها، تقسیم سلولی، تسریع در واکنش‌های آنالوگ، تعمیر مولکول‌های آسیب‌دیده DNA و دیگر کارکرد حیاتی در موجودات مختلف نقش دارند. در مطالعات قبلی نشان داده شده است که بعضی از این ژن‌ها در برهم‌کنش‌های مشابه از جمله برهم‌کنش تریکودرما با گیاه (Samolski *et al.*, 2009; Rubio *et al.*, 2012) و برهم‌کنش قارچ-گیاه در هم‌زیستی میکوریزایی (Menotta *et al.*, 2007; Requena *et al.*, 2002)؛ (Voiblet *et al.*, 2001) دارای تنظیم و بیان بالای ژنی بوده‌اند (جدول ۳). پروتئین secretion-related GTPase هجده ساعت بعد از مایه‌زنی تریکودرما به بذور در حال جوانه‌زنی گوجه‌فرنگی ردیابی شد. در بررسی‌های قبلی (Chacon *et al.*, 2007) زمانی که ریشه گیاهچه‌های

زیست‌زایی ریپوزوم، Set-15 Polycomb/Trithorax protein درگیر در خاموش‌سازی ژن، DNA repair protein rad50 درگیر در تعمیر مولکول‌های آسیب‌دیده DNA و تحمل به مواد مضره با خصلت قارچ‌کشی، ubiquitin-activating enzyme درگیر در نسخه‌برداری، انتقال سیگنال، زیست‌زایی پراکسیزوم و فرایند تجزیه پروتئینی، 3-hydroxybutyryl-CoA dehydrogenase درگیر در تسریع در واکنش‌های شیمیایی داخل سلول‌ها و Mitochondrial outer membrane translocase complex, subunit Tom7 درگیر در غربال کردن پروتئین‌ها، هنگامی که به داخل میتوکندری وارد می‌شوند (Hondo *et al.*, 1996; Honlinger *et al.*, 1996; Madan *et al.*, 1973; 2007).

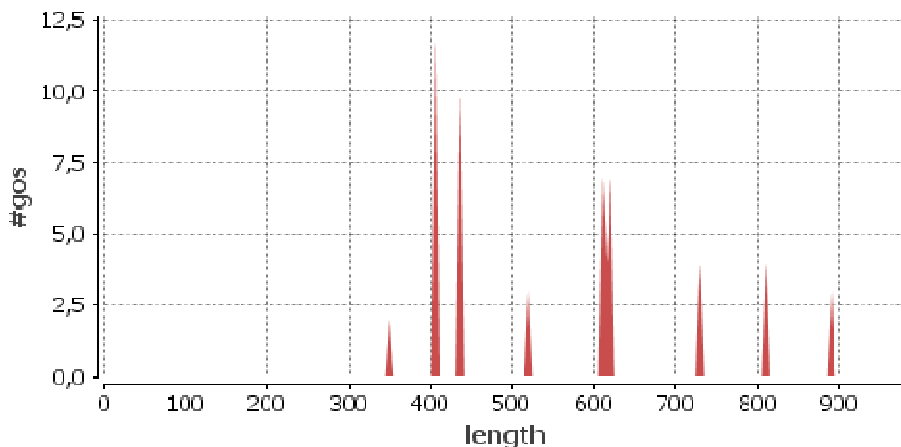
گیرنده‌های سلولی سطحی متصل به پروتئین G، نقل و انتقال مواد غذایی از غشاهای درون‌سلولی و کنترل رشد سلولی و ادامه بقا در مراحل اولیه توسعه دخالت دارند (McDermott *et al.*, 2006).

سایر قطعه‌توالی‌ها که به‌طور افتراقی بیان شد مرتبط با موارد زیر بود: پروتئین nucleolar essential protein درگیر در سوخت‌وساز mRNA هسته‌ای، slingshot homolog 2b درگیر در پویایی اکتین با فعال‌سازی مجدد پروتئین‌های ADF/cofilin، nuclear pore complex subunit Nup133 درگیر در تسهیل و مدیریت تمام انتقال‌های بین سیتوپلاسم و هسته، 60S ribosomal protein l40 درگیر در شناساندن پروتئین‌ها، زیست‌زایی ریپوزوم و جزء ساختاری و مونتاژی ریپوزوم، 40S ribosomal protein S3 درگیر در ترجمه، 30-50 exonuclease/helicase (Wrm) درگیر در همانندسازی DNA، نسخه‌برداری، ترجمه، نوترکیبی، تعمیر DNA و

Percentage of sequences with length(x) annotated



Number of GO-terms for sequences with length(x)



شکل ۵. نمایش نموداری نتایج مرحله نگاشت و تفسیر بعد از معرفی ۴۲ قطعه‌توالی بیان‌شده به محیط BLAST2GO. این دو نمودار درصد توالی‌ها تفسیر شده و تعداد تفسیرهای نسب‌شناسی ژنی را با در نظر گرفتن طول توالی‌ها نشان می‌دهد.

جدول ۳. شباهت توالی ۴۲ قطعه‌توالی بیان‌شده با پروتئین‌ها و ژن‌های شناخته شده با معرفی و جست‌وجوی آنها در BLASTx و AmiGO

| شماره نمونه | نام پروتئین و گونه‌ای که بیشترین شباهت را با قطعه‌توالی بیان‌شده دارد | E value (BLASTx) | P value (GO) | نام برهم‌کنش | بیان‌شده در برهم‌کنش‌های مشابه |
|-------------|---|-------------------|---------------------|-------------------------------------|---|
| JK757061 | Blastx: phospholipase A2 [<i>Nectria haematococca</i> mpVI 77-13-4]; GO: Putative uncharacterized protein [<i>Magnaporthe oryzae</i>] | 3e ⁻⁶¹ | 3.7e ⁻³⁶ | کلونیزه‌شدن بذور جوانه‌زده، ۱۸ ساعت | - |
| JK757062 | Blastx: secretion-related GTPase [<i>T. reesei</i> QM6a]; GO: <u>Rab GTPase</u> [<i>Dictyostelium discoideum</i>] | 2e ⁻⁷⁰ | 4.0e ⁻⁵⁴ | کلونیزه‌شدن بذور جوانه‌زده، ۱۸ ساعت | Chacon et al., 2007; Menotta et al., 2007; Requena et al., 2002; Voiblet et al., 2001 |
| JK757063 | Mitochondrial outer membrane translocase complex, subunit Tom7 [<i>Cordyceps militaris</i> CM01] | 8e ⁻¹⁰ | - | کلونیزه‌شدن بذور جوانه‌زده، ۱۸ ساعت | Samolski et al., 2009 |
| JK757067 | Blastx: fatty acid desaturase [<i>Metarhizium anisopliae</i> ARSEF 23]; GO: <u>Potential delta(6)-or delta(8)-desaturase</u> [<i>Candida albicans</i> SC5314] | 2e ⁻⁹⁵ | 3.0e ⁻⁴³ | کلونیزه‌شدن ریشه، ۱۸ ساعت | Rubio et al., 2012; Chacon et al., 2007 |

ادامه جدول ۳

| شماره نمونه | نام پروتئین و گونه‌ای که بالاترین شباهت را با قطعه‌توالی بیان‌شده دارد | E value (BLASTx) | P value (GO) | نام برهم‌کنش | بیان‌شده در برهم‌کنش‌های مشابه |
|-------------|--|--------------------|---------------------|-------------------------------------|--|
| JK757068 | Blastx: 40S ribosomal protein S3 [<i>Metarhizium anisopliae</i> ARSEF 23]; GO: 40S ribosomal protein S1 [<i>Magnaporthe oryzae</i>] | 3e ⁻¹¹⁹ | 4.6e ⁻⁸⁶ | کلونیزه‌شدن ریشه، ۱۸ ساعت | Chacon et al., 2007; Rubio et al., 2012 |
| JK757071 | Blastx: DNA repair protein rad50 [<i>Verticillium dahliae</i> VdLs.17] GO: <u>RAD50</u> [<i>Saccharomyces cerevisiae</i>] | 2e ⁻²³ | 1.2e ⁻¹⁰ | کلونیزه‌شدن، ۱۸ ساعت | - |
| JK757072 | Blastx: predicted protein [<i>T. reesei</i> QM6a] GO: lipid phosphate phosphatase-related protein type 3, <i>Rattus norvegicus</i> | 5e ⁻¹⁰ | 0.013 | کلونیزه‌شدن ریشه، ۱۸ ساعت | Rubio et al., 2012 |
| JK757073 | Blastx: putative 3-hydroxybutyryl-CoA dehydrogenase [<i>T. atroviride</i> IMI 206040]; GO: <u>3-hydroxybutyryl-CoA dehydrogenase</u> [<i>Magnaporthe oryzae</i>] | 5e ⁻⁰⁸ | 2.6e ⁻⁰⁷ | کلونیزه‌شدن ریشه، ۳۶ ساعت | - |
| JK757074 | nuclear pore complex subunit Nup133 [<i>Metarhizium acridum</i> CQMa 102] | 6e ⁻⁷⁶ | - | کلونیزه‌شدن ریشه، ۳۶ ساعت | - |
| JK757075 | Blastx: ubiquitin-activating enzyme [<i>T. reesei</i> QM6a]; GO: <u>Ubiquitin-activating enzyme E1 1</u> [<i>Magnaporthe oryzae</i>] | 1e ⁻⁸⁷ | 6.7e ⁻⁶⁴ | کلونیزه‌شدن بذور جوانه‌زده، ۷۲ ساعت | Samolski et al., 2009 |
| JK757076 | 3'-5' exonuclease/helicase (Wrn), putative [<i>Cordyceps militaris</i> CM01] | 3e ⁻¹⁸ | - | کلونیزه‌شدن بذور جوانه‌زده، ۷۲ ساعت | - |
| JK757084 | Blastx: 60S ribosomal protein L40 [<i>Loederomyces elongisporus</i> NRRL YB-4239]; GO: <u>Ubiquitin and ribosomal L40A fusion protein</u> [<i>Saccharomyces cerevisiae</i>] | 1e ⁻⁰⁵ | 2.9e ⁻⁰⁶ | کلونیزه‌شدن بذور جوانه‌زده، ۷۲ ساعت | Chacon et al., 2007; Samolski et al., 2009 |
| JK757082 | hypothetical protein TRIATDRAFT_300026 [<i>T. atroviride</i> IMI 206040] and duf159 domain containing protein [<i>Grosmannia clavigera</i> kw1407] | 1e ⁻⁰⁴ | - | کلونیزه‌شدن بذور جوانه‌زده، ۷۲ ساعت | - |
| JK757083 | slingshot homolog 2b [<i>Danio rerio</i>] | - | 0.021 | کلونیزه‌شدن بذور جوانه‌زده، ۱۲ ساعت | - |
| JK757086 | Blastx: nucleolar essential protein [<i>Verticillium albo-atrum</i> VaMs.102]; GO: Member of the alpha/beta knot fold methyltransferase superfamily [<i>Saccharomyces cerevisiae</i>] | 4e ⁻⁵⁴ | 3.4e ⁻³⁷ | کلونیزه‌شدن بذور جوانه‌زده، ۱۲ ساعت | - |
| JK813925 | Blastx: phospholipase A2 [<i>Nectria haematococca</i> mpVI 77-13-4]; GO: <u>Putative uncharacterized protein</u> [<i>Magnaporthe oryzae</i>] | 1e ⁻⁵⁷ | 1.3e ⁻³³ | کلونیزه‌شدن بذور جوانه‌زده، ۷۲ ساعت | - |
| JK813938 | set-15, Polycomb/Trithorax protein [<i>Caenorhabditis elegans</i>] | - | 0.0090 | کلونیزه‌شدن ریشه، ۳۶ ساعت | - |
| JK757064 | predicted protein [<i>T. reesei</i> QM6a] | 7e ⁻⁸⁴ | - | کلونیزه‌شدن بذور جوانه‌زده، ۱۸ ساعت | - |
| JK757065 | predicted protein [<i>T. reesei</i> QM6a] | 9e ⁻¹¹⁸ | - | کلونیزه‌شدن بذور جوانه‌زده، ۱۸ ساعت | - |
| JK757069 | predicted protein [<i>T. reesei</i> QM6a] | 2e ⁻⁹⁸ | - | کلونیزه‌شدن ریشه، ۱۸ ساعت | - |
| JK757070 | predicted protein [<i>T. reesei</i> QM6a] | 7e ⁻¹⁵⁷ | - | کلونیزه‌شدن ریشه، ۱۸ ساعت | - |
| JK757078 | Blastx: predicted protein [<i>T. reesei</i> QM6a]; GO: <u>Putative uncharacterized protein</u> [<i>Magnaporthe oryzae</i>] | 3e ⁻¹⁶ | 2.1e ⁻¹⁰ | کلونیزه‌شدن بذور جوانه‌زده، ۷۲ ساعت | - |
| JK757080 | predicted protein [<i>T. reesei</i> QM6a] | 1e ⁻¹²⁷ | - | کلونیزه‌شدن بذور جوانه‌زده، ۷۲ ساعت | - |
| JK757081 | predicted protein [<i>T. reesei</i> QM6a] | 2e ⁻⁹⁸ | - | کلونیزه‌شدن ریشه، ۷۲ ساعت | - |
| JK757085 | predicted protein [<i>T. reesei</i> QM6a] | 4e ⁻⁷¹ | - | کلونیزه‌شدن بذور جوانه‌زده، ۷۲ ساعت | - |
| JK813934 | Uncharacterized protein [<i>Sus scrofa</i>] | - | 0.034 | کلونیزه‌شدن بذور جوانه‌زده، ۷۲ ساعت | - |

نتیجه‌گیری کلی

تعدادی از ژن‌های ردیابی و متمایز بیان‌شده در طول برهم‌کنش‌های کلونیزه‌شدن اسپرموسفر و سطح ریشه مرتبط با ژن‌های شناخته‌شده‌ای به صورت بالقوه آنزیم‌های درگیر در تأمین نیازهای غذایی میکروارگانیزم‌ها از جمله تریکودرما را کد می‌کنند. از جمله این ژن‌ها می‌توان به fatty phospholipase A2, phospholipase A2, phosphatase lipid phosphate, acid desaturase 3-hydroxybutyryl- ubiquitin-activating enzyme و dehydrogenase CoA اشاره کرد. این ژن‌های مرتبط با سوخت‌وساز از طریق انجام وظیفه در به دست آوردن مواد غذایی از ترکیبات کربنی غنی از انرژی که از بذور جوانه‌زده و ریشه‌ها ترشح شده است، اهمیت آشکاری در استقرار تریکودرما در اسپرموسفر و سطح ریشه دارند. این ترکیبات که مواد خارج‌شده ریشه^۱، مواد مترشح^۲ ریشه^۳، موسیلاژها^۴، لیزاتا^۵، ترکیبات گازی، توکسین‌ها و ترکیبات متنوع دیگر را شامل می‌شود نه تنها ریزوم مساعد محیطی برای رشد میکروارگانیزم‌ها را فراهم می‌کنند بلکه منبع غذایی غنی از انرژی (عمده این ترکیبات) نیز عمل می‌کنند. سویه‌های تریکودرما همانند سایر قارچ‌ها و موجودات دیگر در ریزوم ریشه‌گاه، مواد غذایی خود را از مواد آلی موجود در آن به دست می‌آورند. بر تسخیر ریشه‌گاه، گونه‌های تریکودرما، همچنین توانایی مصرف کربن از منابع پیچیده کربنی تأثیر دارند و این مرتبط با ترشح

آنزیم‌های اختصاصی این میکروارگانیزم‌هاست (Ahmad and Baker, 1988). بنابراین جای تعجب نیست که ژن‌هایی از تریکودرما مرتبط با آنزیم‌های تجزیه‌کننده از جمله آنزیم‌های درگیر در سوخت‌وساز لیپیدها در طول کلونیزه‌شدن اسپرموسفر و سطح ریشه بیان بالایی داشته باشند. تعدادی از ژن‌ها همچون Fatty small GTPase, lipid phosphate phosphatase, acid desaturases ubiquitin-activating enzyme و phospholipase A2 نیز مرتبط با انتقال سیگنال درون و بین سلولی، برهم‌کنش با میزبان، ورود مواد به داخل غشا و کنترل رشد و بقای سلولی، عادت به تغییرات محیطی و انتقال مولکول‌های زیستی بین هسته و سیتوپلاسم دارند. با توجه به اینکه در شرایط ایجاد برهم‌کنش غیربیماریزا بین تریکودرما و گیاه نیاز به شناسایی متقابل وجود دارد و باید مسیرهای سوخت‌وسازی لازم به‌منظور استقرار تریکودرما فراهم شود و این شرایط مستلزم فعال شدن مسیرهای انتقال سیگنال پیچیده جهت بیان ژن‌های تنظیمی و کارکردی و نهایتاً فرایندهای بیوشیمیایی است، لذا بیان بالای ژن‌های مرتبط با این فعالیت‌ها نیز کاملاً طبیعی است. در اینجا نقش پروتئین GTPase در سیگنال‌دهی جهت کنترل توقف رشد و مرگ سلولی برنامه‌ریزی‌شده در موضع برهم‌کنش بسیار برجسته است.

REFERENCES

1. Ahmad, J.S. & Baker, R. (1988a). Growth on carbon substrates of rhizosphere-competent mutants of *Trichoderma harzianum*. *Canadian Journal of Microbiology*, 34, 807-814.
2. Bailey, B.A., Bae, H., Strem, M.D., Roberts, D.P., Thomas, S.E., Crozier, J., Samuels, G.J., Choi, I.Y. & Holmes, K.A. (2006). Fungal and plant gene expression during the colonization of cacao seedlings by endophytic isolates of four *Trichoderma* species. *Planta*, 224, 1449-1464.
3. Chacon, M., Rodriguez-Galan, O., Benitez, T., Sousa, S., Rey, M., Llobel, A. & Delgado-Jarana, J. (2007). Microscopic and transcriptome analysis of early colonization of tomato roots by *Trichoderma harzianum*. *International Microbiology*, 10, 19-27.
4. Harman, G.E., Howell, C.R., Viterbo, A., Chet, I. & Lorito, M. (2004). *Trichoderma* species-opportunistic, avirulent plant symbionts. *Nature Review*, 2,43-56.

-
1. Root exudates
 2. Root secretions
 3. Mucilages
 4. Mucigels
 5. Lysate

5. Hermosa, R., Viterbo, A., Chet, I. & Monte, E. (2012). *Trichoderma* beneficial effects to plants and transgenic plants expressing *Trichoderma* genes. *Microbiology*, 158, 17–25.
6. Hondo, D., Hase, S., Kanayama, Y., Yoshikawa, N., Takenaka, S. & Takahashi, H. (2007). The LeATL6-Associated Ubiquitin/Proteasome System May Contribute to Fungal Elicitor Activated Defense Response via the Jasmonic Acid-Dependent Signaling Pathway in Tomato. *Molecular Plant-Microbe Interaction*, 20, 72–81.
7. Honlinger, A., Bomer, U., Alconada, A., Eckerskorn, C., Lottspeich, F., Dietmeier, K. & Pfanner, N. (1996). Tom7 modulates the dynamics of the mitochondrial outer membrane translocase and plays a pathway-related role in protein import. *EMBO Journal*, 15, 2125-2137.
8. Madan, V.K., Hillmer, P. & Gottschalk, G. (1973). Purification and properties of NADP dependent L(+)-3- hydroxybutyryl-CoA dehydrogenase from *Clostridium kluyveri*. *European Journal of Biochemistry*, 32, 51–6.
9. McDermott, M.I., Siga, Y.J., Crump, J.S. & Morris, A.J. (2006). Enzymatic analysis of lipid phosphate phosphatases. *Methods*, 39, 169–179.
10. Mehrabi-Koushki, M., Rouhani, H. & Mahdikhani Moghaddam, E. (2012). Differential display of abundantly expressed genes of *Trichoderma harzianum* during colonization of tomato-germinating seeds and roots. *Current Microbiology*, 65,524–533.
11. Menotta, M., Amicucci, A., Basili, G., Rivero, F., Polidori, E., Sisti, D. & Stocchi, V. (2007). Molecular characterisation of the small GTPase CDC42 in the ectomycorrhizal fungus *Tuber borchii* Vittad. *Protoplasma*, 231, 227–237.
12. Requena, N., Mann, P., Hampp, R. & Franken, P. (2002). Early developmentally regulated genes in the arbuscular mycorrhizal fungus *Glomus mosseae*: identification of GmGIN1, a novel gene with homology to the C-terminus of metazoan hedgehog proteins. *Plant and Soil*, 244, 129–139.
13. Rubio, M.B., Dominguez, S., Monte, E. & Hermosa, R. (2012). Comparative study of *Trichoderma* gene expression in interactions with tomato plants using high-density oligonucleotide microarrays. *Microbiology*, 158,119-28.
14. Samolski, I., de Luis, A., Vizcaino, J. A., Monte, E. & Suarez, M. B. (2009). Gene expression analysis of the biocontrol fungus *Trichoderma harzianum* in the presence of tomato plants, chitin, or glucose using a high-density oligonucleotide microarray. *BMC Microbiology*, 9, 217-231.
15. Voiblet, C., Duplessis, S., Encelot, N. & Martin, F. (2001). Identification of symbiosis regulated genes in *Eucalyptus globulus-Pisolithus tinctorius* ectomycorrhiza by differential hybridization of arrayed cDNAs. *Plant Journal*, 25, 181-191.
16. Yedidia, I., Benhamou, N. & Chet, I. (1999). Induction of defense responses in cucumber plants *Cucumis sativus* L. by the biocontrol agent *Trichoderma harzianum*. *Applied Environment Microbiology*, 65,1061-1070.